

# استفاده از میکروسیلیس برای بهبود خصوصیات ژئوتکنیکی رس نازلو

کاظم بدُو<sup>\*</sup> (اسناد)

حمدید امدادی (کارشناس ارشد)

گروه مهندسی عمران، دانشگاه ارومیه

در این مطالعه، اثر ماده‌ی افزودنی میکروسیلیس در بهبود خصوصیات ژئوتکنیکی خاک رس سیلتی منطقه‌ی نازلوی شهرستان ارومیه بررسی شده است. پس از به دست آوردن پارامترهای ژئوتکنیکی خاک و میکروسیلیس، خاک با ۵ الی ۳۰ درصد میکروسیلیس ترکیب و پارامترهای ژئوتکنیکی مصالح مخلوط اندازه‌گیری شده‌اند. افزایش میکروسیلیس از ۵ تا ۳۰ درصد وزنی خاک، موجب افزایش شاخص خمیری، کاهش چگالی و برهه افزایش رطوبت بهبیه، و کاهش وزن مخصوص خشک بیشینه‌ی خاک شده است. سپس اثر میکروسیلیس در ضربی نفوذپذیری، مقاومت برشی و تک‌محوری و ضربی انتشار مولکولی خاک رس سیلتی بررسی شده است. افزایش میکروسیلیس موجب کاهش ضربی نفوذپذیری، بهبود خواص مقاومتی، و افزایش چسبندگی خاک شده است. افزودن میکروسیلیس به خاک موجب شده است ضربی انتشار مولکولی یون کلر در خاک قدری افزایش یابد، لیکن مقادیر اندازه‌گیری شده در محدوده‌ی استاندارد توصیه شده برای خاک‌های رسی بوده است. تیجه‌گیری کلی این مطالعه حاکی از بهبود خصوصیات ژئوتکنیکی خاک رس سیلتی نازلو در اثر افزودن بیشینه‌ی ۳۰٪ وزنی میکروسیلیس به خاک بوده است، طوری که بتوان از آن برای ساخت آسترها رسی در کف مدفن‌های زباله در منطقه استفاده کرد.

k.badv@urmia.ac.ir  
hamidemadi.civil85@yahoo.com

واژگان کلیدی: رس سیلتی نازلو، میکروسیلیس، مدفن زباله، آستر رسی،  
نفوذپذیری، مقاومت، انتشار مولکولی.

## ۱. مقدمه

برای اصلاح خاک‌های رسی استفاده کردند.<sup>[۱۸-۲۰]</sup> از جمله موادی که برای بهبود خصوصیات ژئوتکنیکی خاک‌های رسی می‌تواند مورد استفاده قرار گیرد، میکروسیلیس است.

برخی پژوهشگران<sup>[۱۹،۲۱]</sup> طی یک مطالعه‌ی آزمایشگاهی نشان داده‌اند که افزودن میکروسیلیس به خاک رسی باعث افزایش مقاومت فشاری نامحصور و کاهش فشار تورمی و ضربی نفوذپذیری آن می‌شود.

محل دفن زباله‌ی شهرستان ارومیه در ۱۷ کیلومتری غرب این شهرستان و در نزدیکی روستای نازلو قرار دارد. خاک رسی این منطقه به عنوان متابع قرضه‌ی مناسب برای ساخت آسترها رسی کن یک مدفن مهندسی مورد توجه پژوهشگران بوده است.<sup>[۲۲-۲۴]</sup>

در این پژوهش، به بررسی بهبود خصوصیات ژئوتکنیکی خاک تهیه شده از این منطقه با استفاده از میکروسیلیس پرداخته شده است. در این پژوهش درصدهای مختلفی از میکروسیلیس به خاک رسی نازلو افزوده و اثر میکروسیلیس در بهبود خصوصیات پایه‌ی مکانیک خاکی، نفوذپذیری، مقاومت، و انتشار مولکولی خاک مذکور بررسی شده است.

استفاده از خاک‌های رسی در اغلب پروژه‌های عمرانی و زیست محیطی به دلیل نفوذپذیری کم، مقاومت برشی کافی و قابلیت جذب آلاینده‌ها از دیر باز مورد توجه مهندسان و پژوهشگران بوده است.<sup>[۲۱]</sup> یکی از موارد استفاده از خاک رسی، مدفن‌های بهداشتی - مهندسی زباله است. لایه‌های متراکم رسی (آسترها رسی) در کف مدفن‌های مهندسی زباله تعییه می‌شوند، تا ضمن جا لوگری از نفوذ شیرابه‌ی زباله به لایه‌های زیرین، آلاینده‌های موجود در شیرابه را نیز جذب کنند و مانع انتقال آنها به سفره‌های آب زیرزمینی منطقه دفن شوند.<sup>[۲۶]</sup>

یک آستر رسی متراکم باید نفوذپذیری کم داشته باشد، در اثر تغییرات رطوبت متورم و منقبض نشود و مقاومت برشی کافی داشته باشد. در صورتی که خاک رسی محلی، شرایط ذکر شده را نداشته باشد، می‌توان با مواد افزودنی خصوصیات آن را اصلاح و در غیر این صورت از مصالح جایگزین استفاده کرد.

پژوهشگران بسیاری از مواد معدنی طبیعی، مصنوعی و فراورده‌های فرعی

\* نویسنده مسئول

تاریخ: دریافت ۲/۸، ۱۳۹۳، اصلاحیه ۴/۱۳۹۳، ۷/۶، پذیرش ۱۳۹۳، ۷/۶.

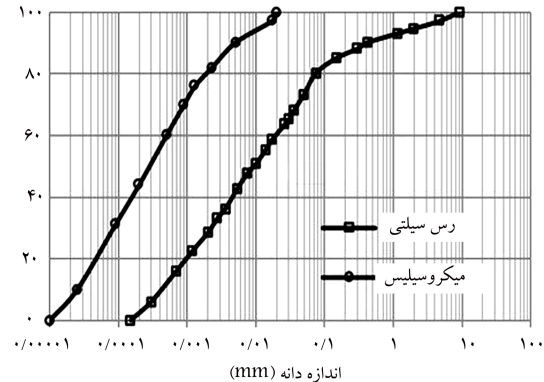
## ۲. مواد و روش‌ها

### ۱.۲. خاک رسی

خاک استفاده شده در این پژوهش از محل یک کارخانه آجرپزی واقع در منطقه‌ی نازلو واقع در ۱۷ کیلومتری شهرستان ارومیه تهیه شده است. برای تعیین مشخصات پایه‌ی مکانیک خاک، آزمایش‌های مکانیک خاک شامل: دانه‌بندی با روش الکتردن و هیدرورومتری، حدود اتربرگ، چگالی ویژه، و تراکم انجام شده است. منحنی دانه‌بندی خاک در شکل ۱ و مشخصات پایه‌ی مکانیک خاکی آن در جدول ۱ ارائه شده است، که با توجه به مشخصات ذکرشده، نوع خاک استفاده شده، رس سیلتی با خاصیت خمیری کم تشخیص داده شده است.

پاره‌یی از خصوصیات ژوژیمیابی خاک رس سیلتی نازلو شامل: ظرفیت تبادل بونی، هدايت الکتریکی (EC)، pH، درصد مواد آلی، درصد آهک طی مطالعه‌ی دیگری اندازه‌گیری و نتایج در جدول ۲ نشان داده شده است.<sup>[۳۲]</sup> مقدار کافی ظرفیت تبادل بونی و درصد نسبتاً بالای آهک در رس سیلتی نازلو موجب می‌شود که این خاک در صورت استفاده به عنوان مصالح آستر رسی در مدفن‌های زباله، جاذب خوبی برای آلاینده‌های شیمیابی مانند فلزات سنگین باشد.

آزمایش XRD به صورت پراش نگاره با ۴ تیمار شامل: اشباع با منیزیم و هوا خشک شده، اشباع با منیزیم و تیمار شده با گلیسرول، اشباع با پاتسیم و هوا خشک شده، و اشباع با پاتسیم در درجه حرارت ۵۵°C در روی نمونه‌های خاک رس سیلتی نازلو انجام شده و نتایج نشان داده است که کانی ایلیت با ۴۹٪، کانی گروه اسمکتیت با ۲۱٪، و کانی کاولینیت با ۲۰٪ کانی‌های اصلی تشکیل دهنده‌ی این خاک هستند. کانی‌کاریت با ۹٪، کترین مقدار را در این خاک به خود اختصاص داده است.<sup>[۳۳]</sup> کانی ایلیت، که درصد غالب را در خاک رس سیلتی نازلو دارد، مناسب‌ترین کانی رسی برای ساخت آستر رسی در مدفن‌های زباله محسوب می‌شود.



شکل ۱. منحنی دانه‌بندی خاک رس سیلتی نازلو.

جدول ۱. مشخصات پایه‌یی خاک رس سیلتی نازلو.

مقدار	پارامتر
۲/۶۷	چگالی ویژه (%)
۳۰	حد روانی (%)
۱۲	حد خمیری (%)
۱۸	شاخص خمیری (%)
۱۶/۵	درجه رطوبت بهینه (%)
۱۸/۲	وزن مخصوص خشک بیشینه ( $\text{kN}/\text{m}^3$ )

جدول ۲. پاره‌یی از مشخصات ژوژیمیابی خاک رس سیلتی نازلو.

مقدار	پارامتر
۲۹	ظرفیت تبادل بونی (CEC) ( $\text{meq}/100 \text{Clay}$ )
۵/۶	هدايت الکتریکی (EC) ( $\text{dSm}^{-1}$ )
۷/۱۷	pH
۰/۲۶	درصد مواد آلی
۱۶/۷	درصد آهک

جدول ۳. درصد مواد شیمیابی تشکیل دهنده‌ی میکروسیلیس.

ماده‌ی شیمیابی	درصد	ماده‌ی شیمیابی	درصد
CaO	۰/۰۸	H <sub>2</sub> O	
MgO	۰/۵	SIC	
Na <sub>2</sub> O	۰/۳	C	
K <sub>2</sub> O	۹۴/۶ - ۹۶/۴	SiO <sub>۲</sub>	
P <sub>۲</sub> O <sub>۵</sub>	۰/۸۷	Fe <sub>۲</sub> O <sub>۳</sub>	
SO <sub>۳</sub>	۱/۳۲	Al <sub>۲</sub> O <sub>۳</sub>	
	۰/۰۴	CL	

## ۲. میکروسیلیس

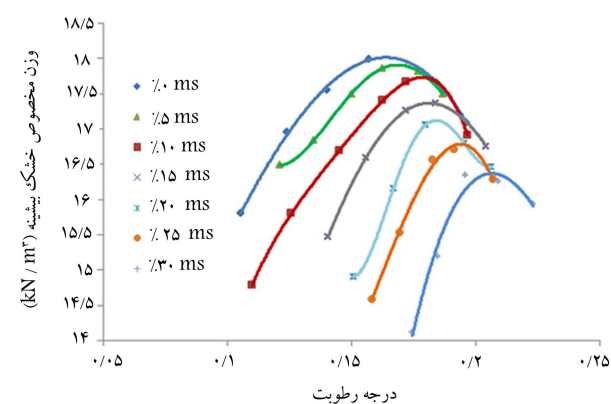
میکروسیلیس استفاده شده، ساخت شرکت این بن در ایران است. درصد تشکیل دهنده‌ی عناصر شیمیابی میکروسیلیس در جدول ۳ و منحنی دانه‌بندی آن در شکل ۱ نشان داده شده است. این ماده‌ی پودری با حالت فیزیکی پوزولان به رنگ خاکستری متمایل به سفید و با وزن مخصوص ۵۰ kg/m<sup>3</sup> و چگالی ویژه‌ی ۲/۲۲ است. شکل ذرات، کروی غیرکریستاله و مطابق جدول ۳، حاوی حدود ۹۶٪ دی‌اسکیدسیلیسیم<sup>۱</sup> است، که از فرایند تولید فروزیلیسیوم در کوره‌های قوس الکتریکی به دست می‌آید و عموماً برای افزایش کیفیت بتن به مخلوط خشک آن اضافه می‌شود. نام دیگر این ماده، سیلیکافوم<sup>۲</sup> است و با استاندارد C12450 ASTM مطابقت دارد.<sup>[۳۴]</sup> افزودن میکروسیلیس به مخلوط بتن باعث می‌شود که دی‌اسکیدسیلیسیم فعل آن با محلول هیدروکسید کلسیم<sup>۳</sup> آزاد موجود در متأذد موئین بتن مخلوط شود و کریستال سیلیکات کلسیم نامحلول تولید کند؛ و درنهایت، باعث تراکم و ساختار خمیر سیمان و افزایش مقاومت بتن شود.

## ۳.۲. اختلاط خاک رس سیلتی و میکروسیلیس و انجام آزمایش‌های پایه

نحوی انتخاب درصد اختلاط خاک رس سیلتی و میکروسیلیس براساس سعی و خطأ در آزمایشگاه و مطالعه‌ی تجارب پژوهشگران دیگر انجام نهیفته است. از آنجا که میکروسیلیس، وزن مخصوص پایینی دارد و کار با نمونه‌های ترکیبی و درصد بالای میکروسیلیس با مشکل همراه است، براساس نتایج آزمایش‌های اولیه، بیشینه‌ی میکروسیلیس در اختلاط، ۳۰٪ در نظر گرفته شده است. میکروسیلیس با درصد‌های ۵، ۱۰، ۱۵، ۲۰ و ۳۰، درصد وزنی خشک کل مخلوط خاک رس سیلتی و میکروسیلیس انتخاب و نمونه‌های خاک و میکروسیلیس با دقت با هم مخلوط شده‌اند. اختلاط با دست انجام شده است تا به صورت همگن باشد. به دلیل اینکه خاک رس سیلتی کاملاً در کوره‌ی حرارتی خشک شده بود، در هنگام اختلاط ابتدا مقداری رطوبت به مخلوط خاک رس و میکروسیلیس اضافه و حدود ۱۲

جدول ۵. تغییرات شاخص خمیری و چگالی ویژه با افزودن میکروسیلیس به خاک رس سیلتی.

میکروسیلیس	شاخص خمیری (%)	چگالی (%)
ویژه	(%)	(%)
۲,۶۷	۱۸	۰
۲,۶۴	۱۹,۴	۵
۲,۶۲	۲۱	۱۰
۲,۵۹	۲۲,۴	۱۵
۲,۵۷	۲۲,۵	۲۰
۲,۵۴	۲۴,۹	۲۵
۲,۵۰	۲۵,۳	۳۰



شکل ۲. منحنی های تراکم برای ترکیب های خاک رس سیلتی و میکروسیلیس، حاوی ۵ الی ۳۰ درصد میکروسیلیس (در شکل ms به معنی میکروسیلیس است).

جدول ۴. مقادیر درصد رطوبت بهینه و وزن مخصوص خشک پیشینه هی ترکیب های حاوی صفر تا ۳۰ درصد میکروسیلیس.

میکروسیلیس (kN/m³)	رطوبت بهینه (%)	وزن مخصوص خشک (%)
۱۸	۱۶,۷	۰
۱۷,۹	۱۷	۵
۱۷,۷	۱۷,۶	۱۰
۱۷,۴	۱۸	۱۵
۱۷,۱	۱۸,۴	۲۰
۱۶,۸	۱۹,۳	۲۵
۱۶,۴	۲۰,۶	۳۰

از چسب آکواریوم مسدود شده است. نمونه های ترکیب شده خاک رس سیلتی و میکروسیلیس پس از افزودن رطوبت به مقدار حدود ۳٪ بیش از رطوبت بهینه (برای داشتن کمینه هی نفوذپذیری: آنچه که برای عایق های رسی در مدافن های زباله توصیه شده است)، در ۳ لایه در داخل لوله پلیکا متراکم و ارتقای نهایی خاک اندازه گیری شده است. سپس به مدت ۲ روز در بالای خاک متراکم شده آب مقطر ریخته شده است، تا غیر اشیاع بودن نمونه متراکم شده در لایه های بالای از بین رود و اثر مکش، که می تواند در روند انتشار مولکولی تأثیر منفی بگذارد، خشی شود. سپس آب تخلیه و به جای آن محلول کلرورسدیم با غلظت ۴۰۰۰ میلی گرم بر لیتر یون کلر، به ارتفاع ۴ سانتی متر ریخته شده است. نمونه ای اول بعد از ریختن محلول در مخزن بالای خاک برداشته شده است، تا غلظت اولیه ی یون کلر در ابتدای آزمایش تعیین شود.

سپس نمونه برداری ها در نیم روز، یک روز و روزهای بعد، هر دو روز ۱ بار انجام شده است. آزمایش ها بعد از مدت ۱۲ تا ۱۵ روز به اتمام رسیده است. یادآور می شود مقدار نمونه هایی که هر روز برداشته شده اند، برابر ۲ میلی لیتر بوده و به جای آن به همان مقدار، آب مقطر اضافه شده است. این امر باعث ریقشدن محلول کلرورسدیم مخزن شده است، که در پیش بینی های تئوریک، که در ادامه شرح داده شده است، منتظر شده است. در پایان آزمایش، محلول مخزن تخلیه شیشه ای کف از لوله جدا شده، و نمونه خاک توسط یک سنبه هی چوبی از داخل لوله پلیکا خارج شده و به قطعات با ضخامت های حدود ۱/۷ سانتی متری بریده شده است. سپس تعداد ۷ قرص خاک بریده و با استفاده از دستگاه استحصال آب حفره بی آبگیری و درنهایت، غلظت یون کلر در ۷ نمونه آب حفره بی توسط دستگاه غلظت سنج کلر تعیین شده است. نمونه محلول های برداشت شده از مخزن بالای خاک نیز برای یون کلر تعیین غلظت شده اند. در پایان هر آزمایش، نمودارهای مشاهده بی غلظت نسبت به زمان آزمایش و غلظت نسبت به عمق خاک برای هر نمونه ترکیب رس سیلتی با میکروسیلیس ترسیم شده اند، که در بخش نتایج ارائه شده اند.

از نرم افزار پلولت<sup>۷</sup> برای محاسبات تئوریک استفاده شده است<sup>[۱۳]</sup> که در آن، خصوصیات خاک، محلول، شرایط مرزی آزمایش، و ضریب انتشار مولکولی تخمینی یون کلر به برنامه معرفی و خروجی برنامه به صورت منحنی های تئوریک (پیش بینی شده) غلظت - زمان و غلظت - عمق خاک تولید شده است. با ترسیم منحنی های مشاهده بی و تئوریک در یک نمودار تشخیص داده شده است که کدام ضریب انتشار مولکولی بهترین برازش را بین این دو منحنی نتیجه داده و آن ضریبی که بهترین برازش را داشته است، به عنوان ضریب انتشار مولکولی یون کار در خاک

ساعت زمان داده شد تا رطوبت جذب خاک شود تا تراکم نمونه ها بهتر انجام پذیرد. پس از اختلاط، آزمایش تراکم برای نمونه های ترکیبی انجام پذیرفته است. شکل ۲، منحنی های تراکم را برای نمونه های ترکیبی حاوی ۵ الی ۳۰ درصد میکروسیلیس نشان می دهد. در جدول ۴، مقادیر درصد رطوبت بهینه و وزن مخصوص خشک پیشینه هی حاصل از آزمایش های تراکم روی نمونه های ترکیبی نشان داده شده است. همچنین آزمایش های حدود اتربرگ و چگالی ویژه برای نمونه های ترکیبی انجام شده است، که نتایج آن در جدول ۵ مشاهده می شود. با توجه به چگالی ویژه پایین میکروسیلیس، همان طور که در هنگام اختلاط مشاهده شده است، پایین آمدن چگالی ویژه ترکیب خاک با میکروسیلیس قبل پیش بینی بوده است. همچنین مشاهده شده است که افزایش میکروسیلیس باعث افزایش شاخص خمیری خاک می شود، که آن هم در اثر افزایش حد روانی است، در حالی که حد خمیری تغییر چندانی نداشته است.

#### ۴.۲. روش آزمایش های انتشار مولکولی

برای به دست آوردن ضریب انتشار مولکولی (ضریب دیفیوژن)<sup>۴</sup> خالص یک بعدی باید از مدلی استفاده کرد که سایر مکانیزم های انتقال آلودگی در آن بی اثر باشند؛ بدین معنی که مکانیزم های فرارفت (ادوکشن)<sup>۵</sup> پراکنش مکانیکی<sup>۶</sup>، جذب و تجزیه در آن مؤثر نباشند. برای این منظور از یک لوله پلیکا به قطر داخلی ۱۰ سانتی متر و طول ۲۱ سانتی متر استفاده و یک طرف آن با یک صفحه شیشه ای با استفاده

## جدول ۶. داده‌های ورودی و خروجی نرم‌افزار Pollute

داده‌های خروجی	داده‌های ورودی
داده‌های غلظت یون کلر در مخزن	ضخامت خاک - پوکی خاک - وزن مخصوص خشک خاک - تعداد جزء لایه‌های خاک - ضریب انتشار
کلور سدیم در بالای خاک در طول زمان و داده‌های غلظت یون کلر در بالای خاک - ارتفاع شیرابه (محالول کلور سدیم) در بالای خاک - غلظت اولیه‌ی یون کلر در بالای خاک - مقدار محلول نمونه برداری شده برای تعیین غلظت در طول مدت آزمایش - شرط مرزی بالای خاک (جرم محدود) - شرط مرزی پایین خاک صورت تردیبی صفر)	مولکولی یون کلر در خاک (D <sub>e</sub> ) - غلظت بیشینه‌ی یون کلر در خاک - ارتفاع شیرابه (محالول کلور سدیم) در بالای خاک - غلظت اولیه‌ی یون کلر در بالای خاک - مقدار محلول نمونه برداری شده برای تعیین غلظت در طول مدت آزمایش - شرط مرزی بالای خاک (جرم محدود) - شرط مرزی پایین خاک صورت تردیبی صفر)

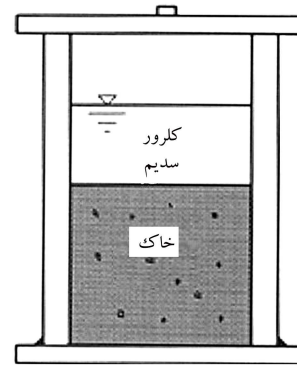
بوده است که معمولاً یک آستر رسی در کف مدفن زباله تحت آن تنش‌ها قرار می‌گیرد. در طول آزمایش‌ها میزان آب جریان یافته از نمونه‌ها در طول زمان یادداشت شده و آزمایش‌ها زمانی به پایان رسیده است که میزان آب ورودی به نمونه‌ها با میزان آب خروجی برابر شده است. پس از اتمام آزمایش‌ها، منحنی‌های جریان - زمان رسم شده و سپس با استفاده از رابطه دارسی ( $k = Q/iA$ ) ضریب نفوذپذیری برای هر نمونه به دست آمده است. در این رابطه،  $Q$  دبی آب جریان یافته از داخل نمونه،  $i$  گرادیان هیدرولیکی،  $A$  سطح مقطع نمونه است. ضرایب نفوذپذیری به دست آمدہ برای درجه حرارت آزمایشگاه اصلاح و نتایج به دست آمدہ در ادامه ارائه شده‌اند.

### ۲.۶. روش آزمایش‌های برش مستقیم

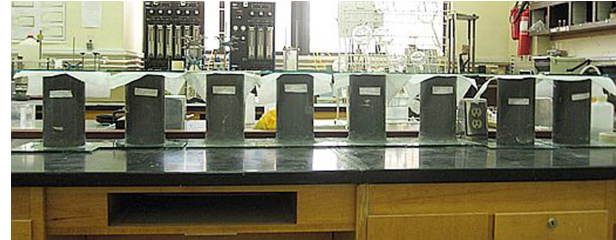
بعد از اختلاط خاک رس و میکروسیلیس با ۳۰٪ بیشتر از رطوبت بهینه، نمونه‌ها طبق روش B تراکم استاندارد در قالب سایز بزرگ متراکم شده و تعداد ۳ عدد نمونه دست نخورد به ابعاد  $15 \times 10 \times 10$  cm توسط نمونه‌گیر مخصوص دستگاه برش بریده شده‌اند. نمونه با دقت در داخل جمعیتی برش قرار گرفته و جعبه با آب اشباع شده است. صفحه‌ی سربار را که مجهز به سنگ متخلخل است، روی نمونه گذاشته و قاب مخصوص بارگذاری قائم روی آن قرار گرفته است. نیروی قائم با توجه به شرایط آزمایش و با افزودن وزنه‌های مناسب روی قاب بارگذاری اعمال شده است. نیروی برش به صورت افقی و به وسیله‌ی موتور الکتریکی با دور معینی اعمال شده است. این نیرو به وسیله‌ی حلقة‌ی نیروسنجه و جایه‌جایی توسط گیج تغییرشکل افقی اندازه‌گیری شده است. اعمال برش به صورت کنترل کرنش بوده و آنقدر ادامه یافته است تا نیروی برش به نقطه‌ی اوج برسد و سپس رو به کاهش بگذارد. برای اعمال نیروی قائم از وزنه‌های ۴، ۱۰ و ۲۰ کیلوگرم و بازوی ۱ به ۱۰ دستگاه استفاده شده است. برای هر نمونه از ۳ تنش قائم  $10 \times 10 \times 10$  mm/min) استفاده شده و سرعت اعمال نیروی برشی (kg/mm<sup>2</sup>) بوده است. پس از انجام آزمایش‌های برش مستقیم روی نمونه خاک رس سیلیتی خالص و نمونه‌های ترکیبی رس سیلیتی و میکروسیلیس، نتایج به صورت نمودارهای تنش قائم در مقابل تنش برشی ترسیم شده و پارامترهای مقاومتی چسبندگی (C) و زاویه‌ی اصطکاک داخلی (φ) به دست آمدہ‌اند، که در ادامه توضیح داده شده است.

### ۷.۲. روش آزمایش‌های فشاری تک محوری

بعد از اختلاط خاک رس و میکروسیلیس با ۳٪ بیشتر از رطوبت بهینه، نمونه‌ها طبق روش A تراکم استاندارد در قالب سایز کوچک متراکم شده‌اند. سپس خاک از قالب خارج و ۳ نمونه‌ی استوانه‌یی شکل با نسبت قطر به ارتفاع ۱ به ۲ تهیه شده‌اند (قطر متوسط نمونه‌ها ۳۶ cm و ارتفاع متوسط آنها ۷۲ cm بوده است). قبل از قراردادن نمونه‌های خاک در زیر دستگاه آزمایش، سطوح بالا و



شکل ۳. شکل مصور مدل آزمایش انتشار مولکولی انجام شده روی نمونه‌های ترکیبی خاک رس سیلیتی و میکروسیلیس.



شکل ۴. تصویر سری آزمایش‌های انتشار مولکولی در حال انجام.

انتخاب شده است. در جدول ۶، داده‌های ورودی و خروجی نرم‌افزار پلولت خلاصه شده است. شکل ۳، به طور مصور مدل آزمایش انتشار مولکولی را نشان می‌دهد و در شکل ۴، تصویر سری آزمایش‌های انتشار مولکولی مشاهده می‌شود. اطلاعات مربوط به نتایج آزمایش‌های انتشار مولکولی برای خاک رس سیلیتی خالص و ترکیب‌های خاک رس سیلیتی با میکروسیلیس به همراه نمودارهای غلظت - زمان و غلظت - عمق در ادامه توضیح داده شده‌اند.

### ۵.۲. روش آزمایش‌های نفوذپذیری

آزمایش‌های نفوذپذیری با دستگاه نفوذپذیری سه محوری با دیواره‌ی انعطاف‌پذیر<sup>۸</sup> بر روی خاک رس سیلیتی خالص و همچنین ترکیب‌های خاک رس سیلیتی و میکروسیلیس انجام شده‌اند. نمونه خاک‌ها به قطر  $10 \times 10 \times 10$  میلی‌متر و ارتفاع ۱۱۷ میلی‌متر بوده‌اند. نمونه‌ها در درجه حرارت آماده شده، در داخل محفظه‌ی آزمایش قرار گرفته، پوشش ممبران اطراف نمونه‌ها کشیده شده، و نمونه‌ها تحت آزمایش نفوذپذیری با گرادیان هیدرولیکی ۲۰، تنش محفوظه (تنش همه جانبه  $100 \times 100 \times 100$  kPa) و تنش مؤثر  $60 \times 60$  kPa و برای هر ترکیب خاک با میکروسیلیس ۲ نمونه مشابه آزمایش شده‌اند. مقادیر تنش اعمال شده در محدوده تنش‌هایی

به علمت فراوانی نمودارهای مشاهده‌بی و پیش‌بینی شده‌ی غلظت - زمان و غلظت - عمق، فقط نمودارهای مربوط به خاک رسی سیلتی خالص و ترکیب خاک با  $3\%$  میکروسیلیس به ترتیب در شکل‌های ۵ و ۶ ارائه شده‌اند. با تکرار آزمایش انتشار مولکولی روی هر کدام از نمونه‌ی خاک‌ها، این نتیجه به دست آمده است که روش بدکار رفته، روش صحیحی برای تعیین ضریب انتشار مولکولی است. مطابق جدول ۷، ضریب انتشار مولکولی خاک رس سیلتی خالص نازلو، در این حاک، افزایش یافته و در ترکیب آخر یعنی  $3\%$  میکروسیلیس، به مقدار  $10^{-1} \times 10^{-18} \text{ m}^2/\text{s}$  متغیر برتایله رسیده است. بنابراین با افزایش درصد میکروسیلیس تا  $30\%$  وزنی در خاک رس سیلتی نازلو، ضریب انتشار مولکولی قدری افزایش یافته است؛ لیکن مقادیر به دست آمده در داخل محدوده مقادیر استاندارد برای آستر رسی یک مدنون مهندسی، یعنی محدوده  $10^{-1} \times 10^{-1} \text{ m}^2/\text{s}$  تا  $10^{-1} \times 10^{-1} \text{ m}^2/\text{s}$  متغیر برتایله است.<sup>[۲۶]</sup> همچنین با بررسی کارهای انجام شده پیشین روی خاک رسی منطقه‌ی نازلوی ارومیه، ضریب انتشار مولکولی خاک رس سیلتی خالص و ترکیب‌های خاک رس سیلتی با میکروسیلیس به دست آمده در این مطالعه، در محدوده ضرایب به دست آمده در مطالعات پیشین بوده است.<sup>[۲۸-۲۹]</sup>

### ۲. آزمایش‌های نفوذپذیری

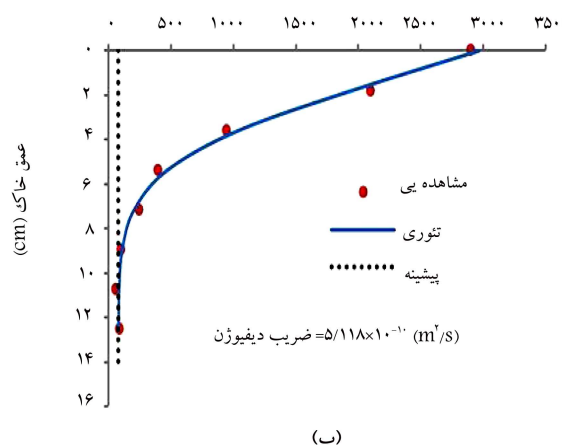
نتایج آزمایش‌های نفوذپذیری انجام شده روی خاک رس سیلتی خالص و ترکیب‌های خاک با میکروسیلیس در جدول ۸ و شکل ۷ ارائه شده‌اند. مطابق جدول ۸،

پایین نمونه‌ها با تغیه صاف شده‌اند، تا خاک در تماس کامل با دو فک دستگاه باشد. سپس بار محوری روی نمونه‌ها اعمال و با ثبت تغییر ارتفاع، کرنش‌های محوری محاسبه شده‌اند. در هنگام آزمایش، با ثابت درنظرگرفتن فواصل میان کرنش‌ها، نیروی مربوط قرائت شده است. در ابتدا قرائت‌ها با فواصل بیشتری انجام شده‌اند. قرائت‌ها تا هنگامی ادامه یافته‌اند که بار به نقطه‌ی اوج رسیده و سپس کاهش یافته است؛ و یا بار به مقدار بیشینه رسیده و بعد از آن تقریباً ثابت باقی مانده است. در پایان هر آزمایش، متحنی‌های نتش محوری  $C_u$  برای خاک رس سیلتی خالص و نمونه‌های ترکیبی رس سیلتی و میکروسیلیس به دست آمده‌اند، که در ادامه توضیح داده شده است.

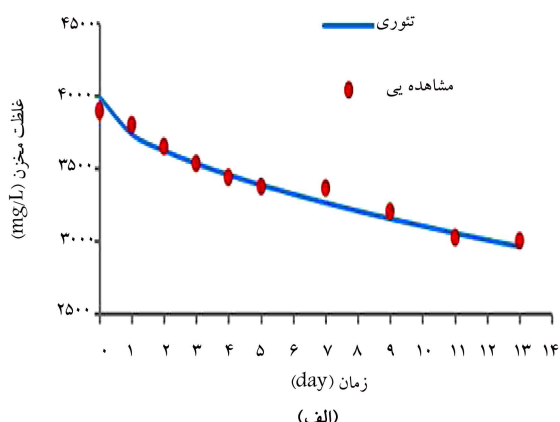
### ۳. نتایج و بحث

#### ۱.۳ آزمایش‌های انتشار مولکولی

همچنان که توضیح داده شده است، آزمایش‌های انتقال آلودگی به طریقه انتشار مولکولی برای رس خالص و ترکیب‌های  $10\%$ ،  $20\%$  و  $30\%$  درصد میکروسیلیس انجام پذیرفته است. داده‌ها و نتایج آزمایش‌ها در جدول ۷ ارائه شده‌اند، که در آن، عدد و حرف مرتب به شماره‌ی هر آزمایش به ترتیب نشان دهنده درصد میکروسیلیس و سری تکرار آزمایش (A یا B) است.



(ب)

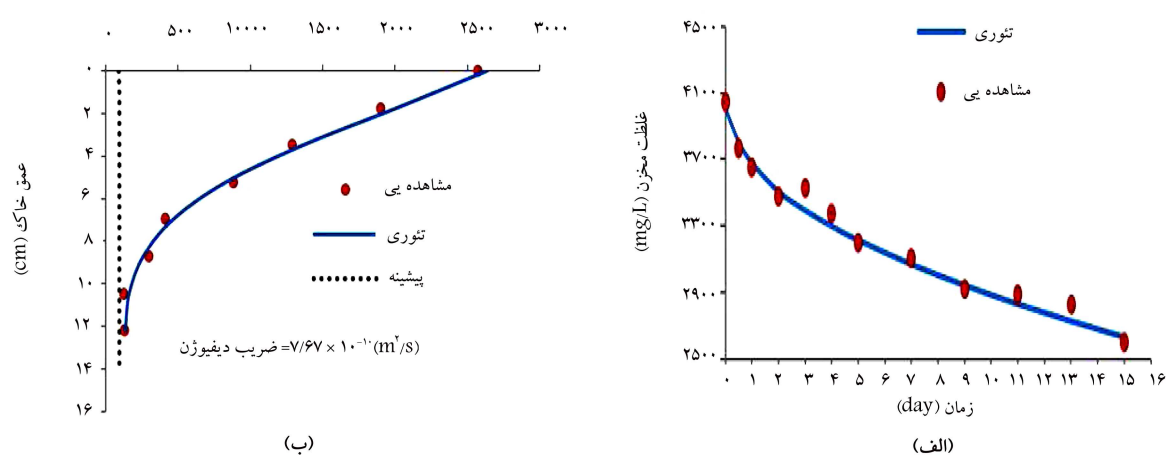


(الف)

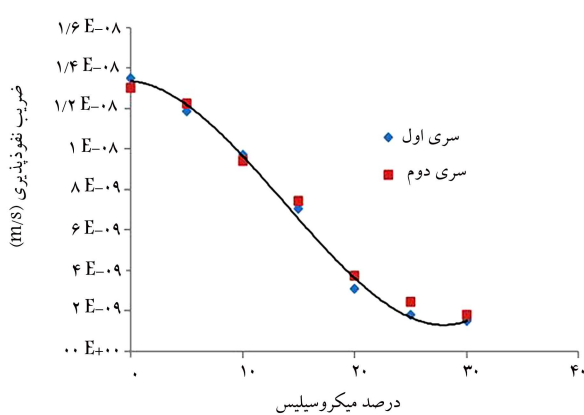
شکل ۵. (الف) نمودار غلظت - زمان در مخزن کلور سدیم، (ب) نمودار غلظت - عمق خاک، در آزمایش انتشار مولکولی روی خاک رس سیلتی خالص نازلو (آزمایش A).

جدول ۷. داده‌های مورد استفاده و نتایج به دست آمده در آزمایش‌های انتشار مولکولی.

شماره‌ی آزمایش											
ارتفاع خاک (cm)	درصد رطوبت وزنی	درصد اشباع	درجه‌ی رطوبت حجمی خاک (cm)	ارتفاع محلول آلوه (cm)	غلظت اولیه‌ی محلول (mg/l)	مدت زمان آزمایش (روز)	ضریب انتشار مولکولی یون کلر $\times 10^{-1} \times 10^{-18} \text{ (m}^2/\text{s)}$	مشاهده بی	تئوری	مشاهده بی	مشاهده بی
۳۰ - B	۳۰ - A	۲۵ - B	۲۵ - A	۲۰ - B	۲۰ - A	۱۰ - B	۱۰ - A	۰ - B	۰ - A	۱۲,۵	۱۲,۵
۱۲,۵	۱۲,۲	۱۲,۸	۱۲,۲	۱۲	۱۲,۵	۱۳	۱۲,۵	۱۲	۱۲,۵	(A)	(B)
۲۲,۵	۲۲,۵	۲۲,۱	۲۲,۱	۲۱,۳	۲۱,۳	۲۰,۵	۲۰,۵	۱۹,۴	۱۹,۴		
۹۵	۹۳	۹۴	۹۳	۹۳	۹۵	۹۴	۹۲	۹۵	۹۶		
۰,۳۷۸	۰,۳۷۴	۰,۳۶۹	۰,۳۶۷	۰,۳۵۷	۰,۳۶۳	۰,۳۵۶	۰,۳۵۳	۰,۳۳۰	۰,۳۳۴		
۴	۴,۱	۴,۱	۴,۱	۴,۲	۴	۴	۴,۱	۴,۲	۴,۱		
۴۰۲۰	۴۰۱۰	۴۰۵۰	۴۰۴۰	۳۹۱۰	۳۹۸۰	۳۹۰۰	۳۹۶۰	۳۹۴۰	۳۹۰۰		
۱۵	۱۵	۱۴,۵	۱۴,۵	۱۳,۲	۱۳,۲	۱۲	۱۲	۱۳	۱۳		
۷,۵۷	۷,۶۷	۷,۲۳	۷,۰۸	۶,۶۸	۶,۸۶	۶,۲۳	۶,۰۹	۵,۴۵	۵,۱۸		



شکل ۶. الف) نمودار غلظت - زمان در مخزن کلرور سدیم، ب) نمودار غلظت - عمق خاک، در آزمایش انتشار مولکولی روی ترکیب خاک رس سیلتی با ۳۰ درصد میکروسیلیس (آزمایش A. ۳)



شکل ۷. تغییرات ضریب نفوذپذیری خاک رس سیلتی خالص و ترکیب‌های خاک و میکروسیلیس در مقابل درصد میکروسیلیس.

هستیم، اما به دلیل مشکلات ناشی از اختلاط همگن و تراکم در هنگام اجرای آستر رسی در یک مدفن واقعی در درصدهای بالای میکروسیلیس، استفاده از ترکیب پیشنهادی ۲۰٪ میکروسیلیس در اجرا توصیه می‌شود. در کار مشابهی که کالکان و آکبولوت (۲۰۰۴) بر روی ۴ نوع خاک رسی مختلف در ترکیب با افزودن میکروسیلیس (سیلیکا فوم) با درصدهای ۵، ۱۵، ۲۰، ۲۵، ۳۰ و ۵۰ به خاک انجام داده‌اند، ضرایب نفوذپذیری در محدوده  $10^{-7} \times 10^{-6}$  تا  $10^{-7} \times 10^{-6}$  متر بر ثانیه در خاک‌های رسی خالص، به مقدار  $10^{-7} \times 10^{-6}$  تا  $10^{-7} \times 10^{-6}$  متر بر ثانیه در ترکیب ۳۰٪ میکروسیلیس کاهش یافته و در ترکیب ۵٪، تغییر چندانی نسبت به ۳٪ مشاهده نشده است. این مقادیر، کاهش ۳ تا ۴ برابری ضریب نفوذپذیری را برای ۴ نوع خاک مختلف نشان داده است.<sup>[۱۲]</sup>

**۳.۳. آزمایش‌های برش مستقیم**  
نتایج آزمایش‌های برش مستقیم انجام یافته روی خاک رس سیلتی خالص نازلو و ترکیب‌های خاک و میکروسیلیس در جدول ۹ ارائه شده است. شکل‌های ۸ و ۹ نیز به ترتیب نمودار تغییرات چسبندگی و زاویه‌ی اصطکاک داخلی خاک را در مقابل درصد میکروسیلیس نشان می‌دهند. همان‌طور که در جدول ۹ و شکل ۸

جدول ۸. نتایج آزمایش‌های نفوذپذیری برای خاک رس سیلتی خالص و ترکیب‌های خاک و میکروسیلیس.

میکروسیلیس	ضریب نفوذپذیری (m/s)	شماره‌ی نموده (%)
		۰
۱/۵۱ $\times 10^{-8}$	۱	
۱/۴۶ $\times 10^{-8}$	۲	
۱/۳۰ $\times 10^{-8}$	۱	۵
۱/۳۵ $\times 10^{-8}$	۲	
۱/۰۷ $\times 10^{-8}$	۱	۱۰
۱/۰۴ $\times 10^{-8}$	۲	
۷/۵۹ $\times 10^{-9}$	۱	۱۵
۸/۰۱ $\times 10^{-9}$	۲	
۳/۴۶ $\times 10^{-9}$	۱	۲۰
۴/۲۰ $\times 10^{-9}$	۲	
۲/۴۷ $\times 10^{-9}$	۱	۲۵
۲/۷۶ $\times 10^{-9}$	۲	
۱/۶۳ $\times 10^{-9}$	۱	
۱/۹۷ $\times 10^{-9}$	۲	۳۰

ضریب نفوذپذیری خاک رس سیلتی خالص نازلو به طور متوسط  $1/5 \times 10^{-8}$  (m/s) است. این مقدار ضریب نفوذپذیری از استاندارد توصیه شده برای آستر رسی متراکم شده در گرفت مدفن زباله (کمینه‌ی  $10^{-9} \text{ m/s}$ ) بیشتر است. همان‌طور که در جدول ۸ و شکل ۷ ملاحظه می‌شود، افزودن میکروسیلیس به خاک مذکور باعث بهبود خاصیت نفوذپذیری و کاهش آن شده است؛ طوری که در ترکیب حاوی ۳٪ میکروسیلیس ضریب نفوذپذیری خاک (m/s)  $1/8 \times 10^{-9}$  شده است، که حدود ۸ برابر کمتر از خاک فاقد میکروسیلیس است. هر چند با افزایش میکروسیلیس به درصدهای بالاتر یعنی ۲۵ و ۳۰، همچنان کاهش ضریب نفوذپذیری را شاهد

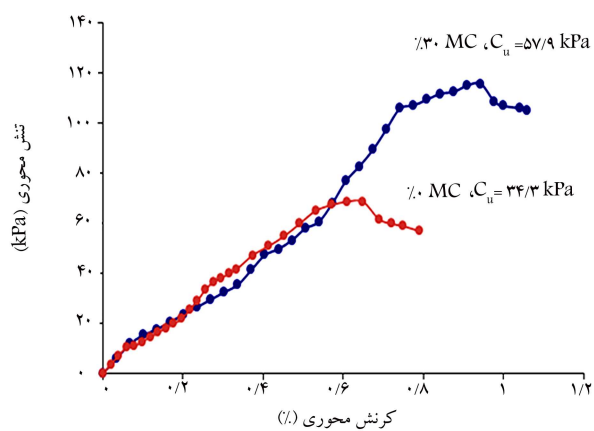
مشاهده می شود، با افزایش درصد میکروسیلیس در خاک تا حد ۳۰٪، چسبندگی خاک نیز افزایش یافته و بیشترین نرخ افزایش در ترکیب حاوی ۱۰٪ الی ۲۰٪ درصد میکروسیلیس رخ داده است. در آزمایش های مذکور، مقدار چسبندگی برای رس سیلیتی خالص، ۴۶ kPa و برای ترکیب خاک و ۳۰٪ میکروسیلیس، ۶۷ kPa به دست آمده است. بنابراین با افزودن ۳۰٪ وزنی میکروسیلیس به خاک رس سیلیتی نازلو، چسبندگی خاک حدود ۴۵٪ افزایش یافته است. مطابق نتایج ارائه شده در جدول ۹ و شکل ۹، زاویه ای اصطکاک داخلی رس سیلیتی خالص، ۴ درجه است و با افزودن میکروسیلیس به خاک مذکور این مقدار تا ۸ درجه افزایش یافته است. هر چند نتایج افزایش ۱۰۰٪ درصدی زاویه ای اصطکاک داخلی خاک را تا ۳۰٪ میکروسیلیس نشان می دهد، لیکن افزایش کلی در زاویه ای اصطکاک داخلی چشمگیر نیست.

### ۴.۳. آزمایش های فشاری تک محوری

مقادیر مقاومت فشاری تک محوری و چسبندگی زهکشی نشده ( $C_u$ ) به دست آمده از آزمایش های تک محوری انجام شده روی خاک رس سیلیتی خالص نازلو و ترکیب های خاک با میکروسیلیس، در جدول ۱۰ ارائه شده است. شکل ۱۰، نیز نمودار تغییرات کرنش محوری در مقابل تنش محوری فشاری را برای ترکیب خاک رس سیلیتی

جدول ۱۰. مقادیر چسبندگی زهکشی نشده حاصل از آزمایش های تک محوری روی ترکیب های خاک رسی سیلیتی نازلو با میکروسیلیس.

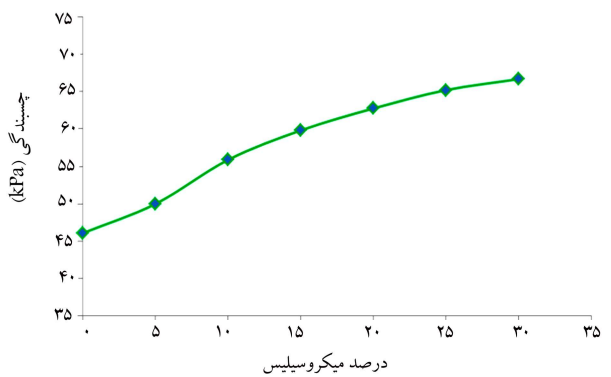
میکروسیلیس	مقاومت فشاری ( $C_u$ , kPa)	تشنج محوری (%)	چسبندگی زهکشی نشده (%)
۳۴,۳	۶۸,۶	۰	
۳۸,۳	۷۶,۵	۵	
۴۲,۲	۸۴,۴	۱۰	
۴۹,۰	۹۶,۰	۱۵	
۵۳,۰	۱۰۶,۰	۲۰	
۵۵,۹	۱۱۱,۸	۲۵	
۵۷,۹	۱۱۵,۸	۳۰	



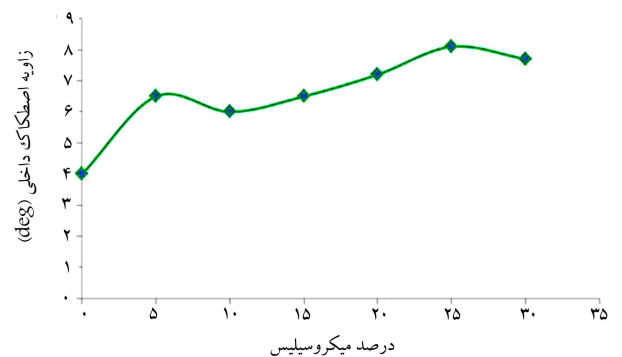
شکل ۱۰. تغییرات کرنش محوری در مقابل تنش محوری فشاری در آزمایش نک محوری روی ترکیب رس سیلیتی نازلو با صفر و ۳۰٪ درصد میکروسیلیس.

جدول ۹. نتایج آزمایش های برش مستقیم انجام شده روی ترکیب های خاک رس سیلیتی و میکروسیلیس.

میکروسیلیس (%)	بیشینه (kPa)	چسبندگی داخلی (درجه)	تشنج برشی (kPa)	تشنج قائم (kPa)	زاویه ای اصطکاک
۴	۴۶	۴۸	۴۰	۰	
	۵۴		۱۰۰	۰	
	۵۸		۲۰۰	۰	
۶/۵	۵۰	۵۴	۴۰	۵	
	۶۲		۱۰۰		
	۷۰		۲۰۰		
۶	۵۶	۶۰	۴۰	۱۰	
	۶۹		۱۰۰		
	۷۴		۲۰۰		
۶/۵	۶۰	۶۵	۴۰	۱۵	
	۷۲		۱۰۰		
	۸۰		۲۰۰		
۷/۲	۶۳	۶۷	۴۰	۲۰	
	۷۶		۱۰۰		
	۸۴		۲۰۰		
۸/۱	۶۵	۷۰	۴۰	۲۵	
	۸۰		۱۰۰		
	۹۰		۲۰۰		
۷/۷	۶۷	۷۲	۴۰	۳۰	
	۸۱		۱۰۰		
	۹۳		۲۰۰		



شکل ۸. تغییرات چسبندگی خاک با درصد میکروسیلیس در آزمایش های برش مستقیم.



شکل ۹. تغییرات زاویه ای اصطکاک داخلی خاک با درصد میکروسیلیس در آزمایش های برش مستقیم.

ترکیه ضریب نفوذپذیری کمتر و به طور متوسط برابر با ( $m/s \times 10^{-4}$ ) ۳,۵ دارد.

#### ۴. نتیجه‌گیری

در این پژوهش اثر میکروسیلیس در بهبود خصوصیات ژوتکنیکی خاک رس سیلتی منطقه‌ی نازلوی شهرستان ارومیه بررسی شده است، تا بتوان از این خاک برای ساخت آستر رسانی در یک مدافن زباله، که با اصول بهداشتی - مهندسی در منطقه ساخته می‌شوند، استفاده کرد. خصوصیات مکانیک خاکی پایه شامل: دانه‌بندی، شاخص خمیری، چگالی و وزه، درصد رطوبت بهینه، وزن مخصوص خشک پیشینه‌ی خاک، و خصوصیات هیدرولیکی (ضریب نفوذپذیری)، مقاومتی (مقاومت برشی و فشاری تک محوری) و انتشار آلودگی (ضریب انتشار مولکولی) خاک رس سیلتی خالص و خاک ترکیب شده با میکروسیلیس بررسی شده است. برای اندازه‌گیری خصوصیات ژوتکنیکی ذکر شده، خاک رس سیلتی نازلو با ۵، ۱۰، ۱۵، ۲۰، ۲۵ و ۳۰ درصد وزنی میکروسیلیس ترکیب، نتایج آزمایش‌ها با هم مقایسه، و اثر میکروسیلیس در بهبود خصوصیات ژوتکنیکی خاک مشخص شده است. نتایج بدست آمده از این مطالعه را به این صورت می‌توان خلاصه کرد:

۱. با توجه به نتایج آزمایش‌های مکانیک خاک، نوع خاک منطقه‌ی نازلوی شهرستان ارومیه، رس سیلتی تشخیص داده شده است. این خاک پارامترهای تعریف شده برای یک آستر رسانی در یک مدافن زباله مهندسی را از نظر شاخص خمیری (بیشتر از ۸٪) و درصد وزنی دانه‌های رسی (داشتن ۳۰٪ وزنی دانه‌های کوچک‌تر از ۲ میکرون) دارد، لیکن ضریب نفوذپذیری بالاتر از استاندارد (کمینه  $m/s \times 10^{-6}$ ) است. بنابراین برای استفاده به عنوان مصالح مصالح آستر رسانی، بهبود خصوصیات ژوتکنیکی این خاک ضروری است.

۲. نتایج آزمایش‌های تراکم پروکتر استاندارد برای هر کدام از ترکیب‌های خاک رس سیلتی نازلو با میکروسیلیس نشان داده شده است، که با افزایش درصد میکروسیلیس از ۵ تا ۳۰، درصد رطوبت بهینه خاک افزایش و وزن مخصوص خشک پیشینه‌ی آن کاهش یافته است.

۳. نتایج آزمایش‌های حدود اتربرگ نشان داده است که حد روانی خاک با افزایش میکروسیلیس از ۵ تا ۳۰ درصد، افزایش یافته است، لیکن حد خمیری آن تغییر قابل توجهی نکرده است، در نتیجه شاخص خمیری خاک افزایش یافته است.

۴. افزایش درصد میکروسیلیس در خاک، باعث کاهش چگالی و وزهی آن شده است، که به دلیل پایین بودن چگالی و وزهی میکروسیلیس است.

۵. نتایج آزمایش‌های انتقال آلودگی به طریقه انتشار مولکولی روی خاک رس سیلتی خالص و ترکیب‌های خاک با ۱۰، ۲۰، ۲۵ و ۳۰ درصد میکروسیلیس نشان داده است که با افزودن میکروسیلیس به خاک، ضریب انتشار مولکولی یون کار از  $s/m^2 \times 10^{-10}$  به  $m/s \times 10^{-5} / ۱۸$  برابر است، افزایش ۷,۶۷٪ افزایش یافته است؛ لیکن این افزایش جزئی است و ضریب انتشار مولکولی یون کار در ترکیب حاوی ۲۰٪ میکروسیلیس، هنوز در محدوده مجاز تعریف شده برای یک آستر رسی مدافن زباله قرار دارد.

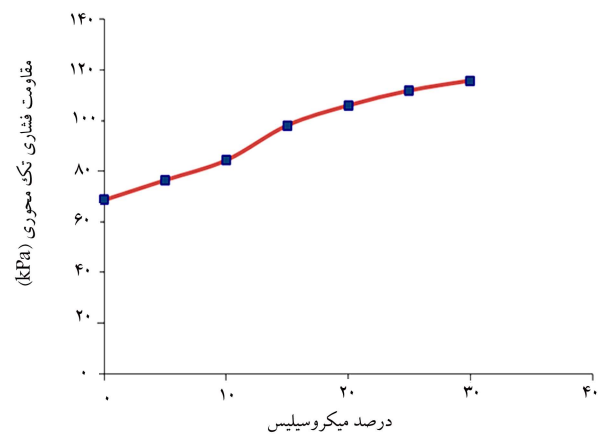
۶. نتایج آزمایش‌های نفوذپذیری سه محوری روی خاک رس سیلتی خالص و ترکیب‌های خاک با میکروسیلیس نشان داده است که با افزایش میکروسیلیس در

خالص نازلو با ۰ و ۳۰ درصد میکروسیلیس نشان می‌دهد. در شکل ۱۱، نیز نمودار تعییرات درصد میکروسیلیس در خاک در مقابل مقاومت فشاری تکمحوری خاک (نتیجه فشاری پیشینه که منجر به گسیختگی خاک شده است) نشان داده شده است. نتایج بدست آمده، افزایش مقاومت تکمحوری و چسبندگی زهکشی نشده‌ی خاک رس سیلتی نازلو را با افزایش درصد میکروسیلیس در خاک (از ۵ تا ۳۰ درصد) نشان می‌دهد. همان‌طور که در جدول ۱۰ و شکل ۱۱ مشاهده می‌شود، مقاومت فشاری تکمحوری رس سیلتی خالص برابر  $68/6 kPa$  است؛ در حالی که برای ترکیب خاک با ۳۰٪ میکروسیلیس، این مقدار به  $115/8 kPa$  افزایش یافته است. بنابراین افزودن ۳۰٪ میکروسیلیس به خاک موجب شده است تا مقاومت فشاری خاک حدود ۶۹٪ افزایش یابد.

در کار مشابهی که کالکان و آکبیوت بر روی ۴ نوع خاک رسی مختلف در ترکیه با افزودن میکروسیلیس (سیلیکاform) با درصد های ۱۰، ۱۵، ۲۰، ۲۵ و ۳۰ به خاک انجام داده‌اند، مقادیر مقاومت فشاری تکمحوری از حدود  $80 kPa$  برای خاک‌های رسی خالص، به مقدار  $120 kPa$  برای ترکیب  $30\%$  میکروسیلیس با خاک و  $130 kPa$  برای ترکیب  $50\%$  میکروسیلیس با خاک به دست آمده است.<sup>[۱۲]</sup> نتایج این مطالعه نشان داده است که هرچند با افزایش درصد میکروسیلیس تا ۵۰٪ مقاومت فشاری تکمحوری نیز روند افزایشی پیدا می‌کند، لیکن نزد افزایش برای مقادیر بیش از ۲۵٪ میکروسیلیس کم است و بنابراین رقم ۲۵٪ میکروسیلیس در ترکیب خاک، بهینه است و بیش از آن توصیه نمی‌شود.

مقایسه خصوصیات ژوتکنیکی و ژوشیجیابی رس سیلتی نازلو در این مطالعه و رس استقاده شده در مطالعه‌ی کالکان و آکبیوت در ترکیه<sup>[۱۹،۲۰]</sup> مقاومت فشاری تکمحوری نیز روند افزایشی پیدا می‌کند، این شرح نشان می‌دهد:

کانی غالب در رس سیلتی نازلو از نوع ایلیت است،<sup>[۲۱]</sup> که کانی مقبولی برای ساخت آسترها رسی در مدافن‌های زباله به شمار می‌رود؛ لیکن کانی غالب در رس ترکیه اسمکتیت است، که عموماً خاصیت تورمی دارد و رس مناسبی برای ساخت آستر رسی در مدافن‌ها نیست. رس نازلو خاصیت خمیری، حد روانی، درصد رطوبت بهینه، و ضریب نفوذپذیری کمتری نسبت به رس ترکیه دارد. همچنان که بحث شده است، ضریب نفوذپذیری متوسط رس سیلتی خالص نازلو ( $m/s \times 10^{-8}$ ) است، که نحوه اصلاح آن با میکروسیلیس در این مطالعه مورد توجه قرار گرفته است؛ در صورتی که رس



شکل ۱۱. تعییرات مقاومت فشاری تکمحوری روی خاک رس سیلتی نازلو. آزمایش‌های تکمحوری روی خاک رس سیلتی نازلو.

۱۰۰ درصدی زاویه‌ی اصطکاک داخلی خاک را تا ۳۰٪ میکروسیلیس نشان می‌دهد، لیکن افزایش کلی در زاویه‌ی اصطکاک داخلی چشمگیر نیست.

۸. نتایج آزمایش‌های فشاری تک محوری نشان داده است که افزودن میکروسیلیس به خاک رسی سیلتی نازلو باعث افزایش مقاومت فشاری آن شده است. بیشترین نرخ افزایش، همانند آزمایش برش مستقیم، در درصد‌های ۱۰ تا ۲۵ میکروسیلیس رخ داده است. براساس نتایج به دست آمده، خاک رس سیلتی خالص نازلو، مقاومت فشاری ۶۸/۶ kPa و خاک حاوی ۳۰٪ میکروسیلیس مقاومت فشاری ۱۱۵/۹ kPa دارد، که ۶۹٪ افزایش نشان می‌دهد.

۹. به عنوان یک نتیجه‌گیری کلی می‌توان چنین بیان کرد که افزودن میکروسیلیس به خاک رس سیلتی نازلو موجب بهبود پارامترهای ژئوتکنیکی این خاک می‌شود، که از جمله آنها به پارامترهای نفوذپذیری و مقاومتی خاک می‌توان تأکید کرد؛ طوری که این خاک را برای استفاده در ساخت آستررسی کف مدفن‌های زباله‌ی مهندسی در منطقه مستعد می‌سازد. مشاهده‌های آزمایشگاهی نشان داده است که با توجه با بروز مشکلات اختلاط، فرآوری و تراکم خاک در درصد‌های بالای میکروسیلیس، ترکیب خاک رس سیلتی نازلو با ۲۰٪ میکروسیلیس را می‌توان به عنوان یک ترکیب بهینه برای این خاک در هنگام ساخت آستررهای رسی کف مدفن‌های زباله مهندسی در منطقه معرفی کرد.

خاک از ۵ تا ۳۰ درصد، ضریب نفوذپذیری خاک کاهش یافته است. ضریب نفوذپذیری متوسط خاک رس سیلتی خالص برابر  $10^{-8} \text{ m/s}$  و خاک حاوی ۳۰٪ میکروسیلیس برابر  $10^{-9} \text{ m/s}$  است، که حدود ۸ برابر کمتر از خاک رس سیلتی خالص است. ریزدانه‌تر بودن دانه‌های میکروسیلیس نسبت به دانه‌های خاک و پرشدن منافذ خاک با این ریزدانه‌ها می‌تواند دلیل کاهش نفوذپذیری خاک در اثر اختلاط با میکروسیلیس باشد. این نتیجه‌گیری با نتایج مطالعات پیشین روی مصالح مشابه نیز سازگاری دارد.

۷. نتایج آزمایش‌های برش مستقیم نشان داده است که افزودن میکروسیلیس به خاک رس سیلتی نازلو باعث افزایش محسوس چسبندگی خاک و افزایش جزئی ژاویه‌ی اصطکاک داخلی خاک شده است. بیشترین نرخ افزایش چسبندگی در ترکیب حاوی ۱۰ الی ۲۰ درصد میکروسیلیس رخ داده است. مقدار چسبندگی برای رس سیلتی خالص ۴۶ kPa و برای ترکیب خاک و ۶۷ kPa به دست آمده است. بنابراین با افزودن ۳۰٪ وزنی میکروسیلیس به خاک رس سیلتی نازلو، چسبندگی خاک حدود ۴۵٪ افزایش یافته است. زاویه‌ی اصطکاک داخلی رس سیلتی خالص ۴ درجه است و با افزودن میکروسیلیس به این خاک این مقدار تا ۸ درجه افزایش یافته است. هر چند نتایج، افزایش

## پانوشت‌ها

1.  $\text{SiO}_4$
2. Silicafume
3.  $\text{Ca(OH)}_2$
4. Diffusion coefficient
5. Advection
6. mechanical dispersion
7. Pollute
8. flexible wall triaxial hydraulic conductivity apparatus
9. standard Proctor compaction test

## منابع (References)

1. Murray, H.H. "Traditional and a new applications for kaolin, smectite, and palygorskite: A general overview", *Applied Clay Science*, **17**(5-6), pp. 207-221 (2000).
2. Harvey, C.C. and Murray, H.H. "Industrial clays in the 21st century: A perspective of exploration, technology and utilization", *Applied Clay Science*, **11**(5-6), pp. 285-310 (1997).
3. Keith, K.S. and Murray, H.H., *Clay Liners and Barriers*, Chapter in Industrial Minerals and Rocks, Sixth Edition, Carr, D.D. ed., Society for Mining, Metallurgy and Exploration, Inc., Littleton, Colorado, pp. 435-452 (1994).
4. Rowe, R.K. "Long-term performance of contaminant barrier systems", *45th Rankine Lecture, Geotechnique*, **55**(9), pp. 631-678 (2005).
5. Rowe, R.K., Quigley, R.M., Brachman, R.W.I. and Booker, J.R., *Barrier Systems for Waste Disposal*, 2nd Edition, Spon Press, London, UK (2004).
6. Badv, K., *Engineering Principles of Solid Waste Landfilling – Fundamentals of Landfill Design*, Urmia University Press, p. 497 (2013). (in Persian)
7. Aitcin, P.C., Ballivy, G. and Parizeau, R. "The use of condensed silica fume in grouting", *Innovative Cement Grouting, Publication SP-83, ACI Detroit MI, USA*, **83**, pp. 1-18 (1984).
8. Tosca, S.Z. and Evans, J.C. "The effects of fillers and admixtures on grout performance", *Proc. ASCE Conf., Grouting, Soil Improvement, and Geosynthetics*, USA, New Orleans, pp. 337-349 (25-28 Feb 1992).
9. Kayabali, K. "Engineering aspects of a novel landfill liner material: Bentonite amended natural zeolite", *Engineering Geology*, **46**(2), pp. 105-114 (1997).
10. Asavasipit, S., Nanthamonty, W. and Polprasert, C. "Influence of condensed silica fume on the properties of cement based solidified wastes", *Cement and Concrete Research*, **31**(8), pp. 1147-1152 (2001).
11. Prabakar, J., Dendorkar, N. and Morchhale, R.K. "Influence of fly ash on strength behavior of typical soils", *Construction and Building Materials*, **18**(4), pp. 263-267 (2003).
12. Kalkan, E. and Akbulut, S. "The positive effects of silica fume on the permeability, swelling pressure and compressive strength of natural clay liners", *Engineering Geology*, **73**(1-2), pp. 145-156 (2004).

13. Cetin, H., Fener, M. and Gunaydin, O. "Geotechnical properties of tire-cohesive clayey soil mixtures as a fill material", *Engineering Geology*, **88**(1-2), pp. 110-120 (2006).
14. Kalkan, E. "Utilization of red mud as a stabilization material for preparation of clay liners", *Engineering Geology*, **87**(3-4), pp. 220-229 (2006).
15. Sezer, A., Inan, G., Yilmaz, H.R. and Ramyar, K. "Utilization of a very high lime fly ash for improvement of Izmir clay", *Building and Environment*, **41**(2), pp. 150-155 (2006).
16. Akbulut, S., Arasan, S. and Kalkan, E. "Modification of clayey soils using scrap tire rubber and synthetic fibers", *Applied Clay Science*, **38**(1-2), pp. 23-32 (2007).
17. Aliashrafi, H. and Badv, K. "An investigation into the effect of fine powder material on the hydraulic conductivity of sand", *7th National Congress of Civil Engineering*, Zahedan, Iran, pp. 1-6 (2013). (In Persian)
18. Badv, K. and Shayesteh, A. "Laboratory investigation of the utilization of the rock processing industry residue powder material in construction of the landfill barrier layers", *Journal of Civil and Environmental Engineering*, Tabriz University, **43**(2), pp. 1-9 (2013). (in Persian)
19. Kalkan, E. and Akbulut, S. "Improving of shear strength of natural clay liners from clay deposits NE Turkey", *3rd International Conference on Landslides, Slope Stability and the Safety of Infrastructures*, Cl-Premier Ltd., Singapore, pp. 295-300 (2002).
20. Badv, K. "The use of laboratory physical models to investigate contaminant transport through saturated and unsaturated soils", *Proceedings of the 6th International Conference on Physical Modelling in Geotechnics*, The Hong Kong University of Science and Technology, Hong Kong, **2**, pp. 1211-1216 (2006a).
21. Badv, K. "Experimental and theoretical investigation on unsaturated properties of soil samples from Nazloo Plain, Iran", *59th Canadian Geotechnical Conference and 7th Joint CGS/IAH - CNC Groundwater Specialty Conference*, Vancouver, Canada (2006b).
22. Badv, K. and Abdolalizadeh, R. "A laboratory study on contaminant transport through silt from Urmia landfill site, Iran, by advection-diffusion and hydraulic trap system", *Proceedings of the 6th International Conference on Civil Engineering (ICCE 2003)*, Esfahan, Iran, pp. 151-158 (2003).
23. Badv, K. and Abdolalizadeh R. "A laboratory investigation on the hydraulic trap effect in minimizing chloride migration through silt", *Iranian Journal of Science and Technology, Transaction B*, **28**(B1), pp. 107-118 (2004).
24. Badv, K. and Mahooti, A.A. "Advective-diffusive and hydraulic trap modeling in two and three layer soil systems", *Journal of Science and Technology, Transaction B*, **28**(B5), pp. 559-572 (2004).
25. Badv, K. and Mahooti, A.A. "Chloride transport in layered soil systems with hydraulic trap effect", *Environmental Technology*, **26**(8), pp. 885-897 (2005).
26. Badv, K. and Esazadeh, B. "Laboratory modelling of leachate collection, natural, and engineered hydraulic trap systems", *9th Environmental Engineering Specialty Conference of the Canadian Society for Civil Engineering*, Toronto, Canada, pp. EV-101-1-9 (2005).
27. Badv, K. and Jafari, H. "Laboratory modelling of two dimensional diffusive and advective-diffusive chloride migration through soil", *9th Environmental Engineering Specialty Conference of the Canadian Society for Civil Engineering*, Toronto, Canada, pp. EV-103-1-7 (2005).
28. Badv, K. and Jafari, H. "Laboratory modeling of two-dimensional diffusive and advective-diffusive chloride transport through silt and clay", *Iranian Journal of Science and Technology, Transactions of Civil Engineering*, **37**(C2), pp. 311-324 (2013).
29. Badv, K. and Omidi, A. "Triaxial permeability testing on the synthetic leachate effect on the hydraulic conductivity of clayey soil", *7th International Congress on Civil Engineering*, Tarbiat Modares University, Tehran, Iran (2006).
30. Badv, K. and Omidi, A. "Effect of synthetic leachate on the hydraulic conductivity of clayey soil in Urmia City landfill site", *Iranian Journal of Science and Technology, Transaction B, Engineering*, **31**(B5), pp. 535-545 (2007).
31. Badv, K. and Mahmoudi, M. "The study of moisture and contaminant migration through soil samples using tempe-diffusion laboratory model", *Proceedings of the 33rd International Association of Hydraulic Engineering and Research (IAHR) Congress*, Vancouver, Canada, pp. 5038-5044 (9-14 August 2009).
32. Badv, K. and Gholikhani, M. "Effect of freeze-thaw cycles on the hydraulic conductivity of a compacted clayey soil from Nazlou region of Urmia City, Iran, and on a geosynthetic clay liner", *9th International Congress on Civil Engineering*, Isfahan University of Technology, Isfahan, Iran, pp. 1-8 (2012).
33. Isavand, F., Pirkharrati, H., Badv, K. and Dolati, B. "Investigating the capability of clayey soil deposits in Urmia city landfill site as an adsorbent of cadmium heavy metal for construction of engineered sanitary landfill liner", *16th Symposium of Geological Society of Iran*, Shiraz University, Shiraz, I.R. Iran, pp. 1-8 (September 2012).
34. American Society for Testing and Materials, *Standard Specification for Silica Fume Used in Cementitious Mixtures*, ASTM Designation C 1240 (2011).
35. Rowe, R.K. and Booker, J.R. "POLLUTE v.6.: 1D pollutant migration through a non-homogeneous soil", Distributed by GAEA Environmental Engineering Ltd., 44 Canadian Oaks Drive, Whitby, Ontario, Canada (1983, 1990, 1994).
36. Shackelford, C.D. and Daniel, D.E. "Diffusion in a saturated soil. II. Results for compacted clay", *ASCE Journal of Geotechnical Engineering*, **117**(3), pp. 485-505 (1991).